

3. Teilchenartige Eigenschaften elektromagnetischer Wellen - die Quantennatur von Licht

Wir werden sehen, daß sich unter bestimmten Umständen Licht bzw. elektromagnetische Wellen wie Teilchen verhalten. Zusätzlich kann die Energie, austatt über die gesamte Wellenfront verteilt zu sein, als diskretes Bündel oder "Quantum" abgegeben werden.

→ Synonymer Term für elektromagnetische Welle; "Photon" ← direkt Teilchencharakt aus.

3.1. Schwarz-Körper- oder Hohlraumstrahlung

Betrachtung elektromagnetischer Wellen, die von heißen Objekten abgestrahlt werden. Wir wissen, daß alle Objekte strahlen und daß das Spektrum der Strahlung $R(\lambda)$ von der Temperatur des Objekts abhängt.

Z.B. - wenn ein Metall erhitzt wird, fängt es bei einer bestimmten Temperatur an zu glühen
- Infrarotkameras können Objekte in Komplett Dunkelheit "sehen" auf Grund der von ihnen ausgehenden Strahlung



Wir sieht das Spektrum $R(\lambda)$ aus? Definiere $R(\lambda)$ als abgestrahlte Leistung pro Oberflächeneinheit des strahlenden Körpers und pro Wellenlängeneinheit

Glähen wir Parallelfaden fängt es an bei ca. $1300^{\circ}\text{C} \approx 1600\text{ K}$ rot zu glühen, wenn die Temperatur erhöht wird geht Farbe nach gelb und schließlich nach weiß $\Rightarrow \boxed{\text{Fig. 3-1}}$

charakteristische Wellenlänge wird mit steigender Temperatur kürzer.

Um Verhalten quantitativ zu studieren, brauchen wir einen "idealen Strahler"

- soll keine störenden Oberflächeneffekte wie Reflexion haben, sondern alle Strahlung die auf ihm trifft absorbiert. Absorptionsvermögen $A(\lambda) = 1$ für idealen Strahler für alle λ . Der übliche Reflektor ist ein nichtreflektierender Körper ist der 'schwarze Körper' oder 'schwarze Strahler'. Der 'schwarze Strahler' sendet Wärmestrahlung aus, die seine Temperatur charakteristisch ist.
- Zu thermischen Gleichgewicht ist die absorbierte Leistung gleich der abgestrahlten Leistung; also wird Temperatur durch Strahlung nicht verändert.

In Realität gibt es natürlich kein Material, das für alle Wellenlängen $A(\lambda) = 1$ hat

typische Werte bei Raumtemp. & dichter. Brechzahl:

Schwarzlichtlampe $A = 0.96$ Messung poliert 0.03

Ruß	0.94	Graphit	0.7
-----	------	---------	-----

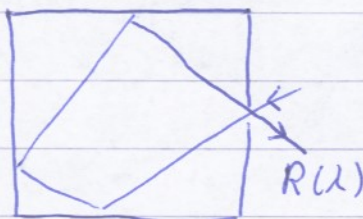
Olas	0.9	Schnee bei 0°C	0.95!
------	-----	--------------------------------	-------

Messung (stumpf)	0.6	im IR; im sichtbaren sehr klein
------------------	-----	------------------------------------

3-2a

Hb: gute Absorbe sind auch gute Strahler
eiger Zusammenhang zwischen Absorptions-
vermögen und Emisivität

technische Realisierung um möglichst idealistische Situation zu realisieren: "Hohlräumshalter"



der Hohlräum (Kavität) absorbiert alle Strahlung die durch kleine Öffnungen eindringt. Innerhalb der Kavität ist Strahlung ein Gleichgewicht mit den Wänden der Kavität.

Strahlungsspektrum, das durch Loch den Hohlräum verlässt, hängt nur von der Temperatur der Kavität ab.

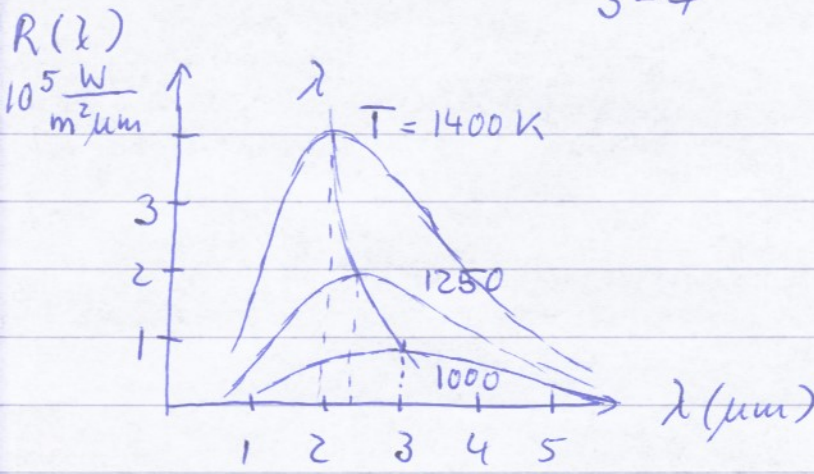
für schwarze Strahler gilt

$$\frac{R(\lambda, T)}{A(\lambda, T)} = R^S(\lambda, T) \text{ mit } A^S(\lambda) = 1$$

Verhältnis von strahlalem Emissions und Absorptionsvermögen ist unabhängig von Objektkennenschaft und Material und ist gleich dem Emissionsvermögen eines schwarzen Strahlers, charakterisiert durch seine Temperatur

"Kirchhoff'sches Strahlungsgesetz" Gustav Robert Kirchhoff 1824 - 1887 (von 1854 - 1875 in Heidelberg in Phys. Inst. der Universität)

Eine genaue Vermessung am Spk. Kav. des schwarzen Körpers fand Ende des 19. Jh. durch Lummer und Pringsheim an der Physikalisch-Technischen Bundesanstalt in Berlin statt.



Beobachtungen:

- Das Spektrum ist bei einer wahrscheinlichsten Wellenlänge λ_p geprägt. λ_p fällt proportional zu $1/T$ bzw

$$\boxed{\lambda_p \cdot T = \text{konst.} = 2.9 \cdot 10^{-3} \text{ m K}}$$

"Wien'sches Verschiebungsgesetz"

d.h. bei 1K ist Spektrum bei $\lambda_p = 0.29 \text{ cm}$ geprägt
bei Raumtemp ($\approx 300 \text{ K}$) $\lambda_p = 10 \mu\text{m}$ (IR)
Oberfläche der Sonne $T = 5800 \text{ K}$ $\lambda_p = 500 \mu\text{m}$ (gelb)
(Nobelpris Wien 1914) -grün

- Fläche unter Kurve $R(\lambda)$ ist die totale abgestrahlte Leistung pro Oberflächeneinheit
 $R = \int_0^\infty R(\lambda) d\lambda$ in W/m^2

abgestrahlte Leistung wächst mit der vierten Potenz der Temperatur

$$\boxed{R = \sigma \cdot T^4 \text{ mit } \sigma = 5.67 \cdot 10^{-8} \text{ W/m}^2 \cdot \text{K}^4}$$

"Stefan - Boltzmann Gesetz"

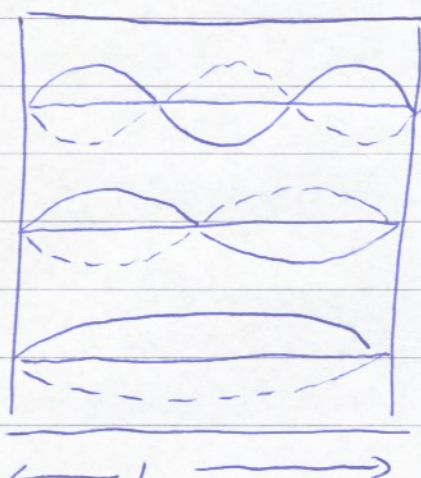
Vgl. von 1 m^2 Sonnenoberfläche abgestrahlte Leistung mit selb. Fläche bei Raumtemp; Fakt $10^4 = 130\,000$
Nützlich zu wissen: Jahresmittelwert der Sonnen

Strahlung auf der Erde (Brücksichtigt Wolken)
 "Solar Konstante" = 1.37 kW/m^2

Berechnung des Spektrums:

Strahlung im Hohlraum im Rückgewicht seit den Wänden. Bild der Wände: Atome oszillieren in einer für die Temp. charakteristischen Weise und emittieren dadurch Strahlung. Im Hohlraum bilden sich stehende elektromagnetische Wellen, die kontinuierlich absorbiert und wieder emittiert werden. Energiedichte der oszillierenden Atome in den Wänden gliedert die Energiedichte der stehenden Wellen in die Kavität. Gelegentlich entwächst eine elektromagnetische Welle durch kleines Loch und die dann gemessene Strahlung des Hohlraums ist charakteristisch für Spektrum im Hohlraum und Energiedichte in den Wänden.

Wieviel stehende Wellen passen in den Hohlraum? Unendlich viele? Nein, kann man abzählen. zuerst 1-dimensional:



$$u(x) = C \sin(k_x \cdot x) \text{ mit } k_x \cdot L = n_x \cdot \pi$$

n_x ganzzahlig

und da Wellenzahl $k_x = \frac{2\pi}{\lambda}$
 $\Rightarrow n_x = \frac{2L}{\lambda}$

in 3 Dimensionen:

$$u(x, y, z) = C \sin(k_x \cdot x) \sin(k_y \cdot y) \sin(k_z \cdot z)$$

$$k_{x,y,z} = \frac{n_{x,y,z} \cdot \pi}{L} \quad \text{3dim stehende Welle}$$

$$\text{und } k^2 = k_x^2 + k_y^2 + k_z^2 = \left(\frac{2\pi}{\lambda}\right)^2$$

$$\left(\frac{n_x \pi}{L}\right)^2 + \left(\frac{n_y \pi}{L}\right)^2 + \left(\frac{n_z \pi}{L}\right)^2 = \left(\frac{2\pi}{\lambda}\right)^2 / \cdot \left(\frac{L}{\pi}\right)^2$$

$$n_x^2 + n_y^2 + n_z^2 = \frac{4L^2}{\lambda^2}$$

Kugel im Raum mit Achsen n_x, n_y, n_z

aber diese Raum ist nicht kontinuierlich besetzt sondern nur an Punkten, an denen n_x, n_y, n_z ganzzahlig z.B. $(1, 0, 0)$ $(0, 1, 1)$ $(2, 3, 0) \dots$

$\Rightarrow [F-3.2]$

Aufzahl der stehenden Wellen mit Wellenlängen zwischen λ und $\lambda + d\lambda$ ist gleich Volumen einer Kugelschale im Raum (n_x, n_y, n_z) zwischen n und $n + dn$

da $n_x, n_y, n_z > 0$ zählt nur ein Octant da eine elektromagnetische Welle 2 mögl. Polarisationen hat entspricht jeder Gitterpunkt 2 mögl. Zuständen.

Aufzahl der möglichen stehenden Wellen

$$g(n) dn = 2 \cdot \frac{1}{8} 4\pi n^2 dn = \pi n^2 dn$$

$$\text{mit } n^2 = 4L^2/\lambda^2 \text{ und } dn/d\lambda = -\frac{2L}{\lambda^2} \wedge$$

$$n(\lambda) d\lambda = \frac{8\pi L^3}{\lambda^4} d\lambda$$

Aufzahl: Volumen = Dichte der elektromagnetischen Wellen $\underbrace{g(\lambda) d\lambda = \frac{8\pi}{\lambda^4} d\lambda}$

Aufzahl von Oszillatormoden pro Volumen und pro Wellenlängeneinheit für Wellenlänge λ

in Frequenzeinheiten: $g(\lambda) d\lambda = g(v) dv \approx g(v) = \frac{8\pi v^2}{c^3}$

aber wir benötigen Energiedichte ϵ im Volumen pro Wellenlängenintervall:

Oszillator hat Energie E je nach Amplitude groß oder klein und Wahrscheinlichkeit P verschiedene Amplituden geben durch Boltzmann-faktor

$$\text{mittlere Energie } \langle E \rangle = \frac{\int E \exp(-E/kT) dE}{\int \exp(-E/kT) dE} = kT$$

pro Flächeneinheit abgestrahlte Leistung:

fi eine Ebene ist Energiefluss durch Punktvektor Vektor gegeben $S = c \cdot \epsilon$

Viele ebene Wellen in alle Richtungen ausgekoppelt von Oberflächenelement. Energiefluss gewichtet in Winkel und nur in eine Richtung (z.B. +x) ist $\frac{1}{2} \langle \cos^2 \vartheta \rangle c \epsilon = \frac{1}{4} c \cdot \epsilon$

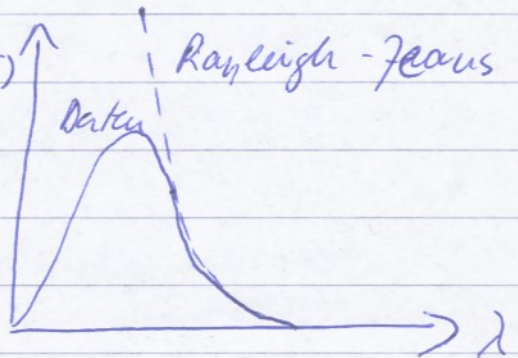
dann erhält man als Strahlungs Spektrum für strahlenden Körper

$$dR(\lambda, T) = \frac{2\pi c k T}{\lambda^4} d\lambda \quad \text{"Rayleigh-Jeans-Gesetz"}$$

gut für große Wellenlängen $R(\lambda, T)$
ab Katastrophe fi $\lambda \rightarrow 0$:

Divergenz

"UV-Katastrophe"



Was ist falsch? fi große λ ist Energie in der Tat kT , fi kleinen Wellenlängen nicht!

basiert auf dem Stefan-Boltzmann Gesetz leitet Wien hypothetisch ab daß $dR/d\lambda = R(\lambda)$ die Form $R(\lambda) = \frac{a \exp(-b/\lambda T)}{\lambda^5}$ haben muß. Dies

bestätigt $R \propto T^4$ und Wien'sches Verschiebungsgesetz. Ab a in der Form kleinen Abweichungen vom Experiment.

Konkrete Lösung durch Max-Planck (1858 - 1947) im Jahr 1900: Planck stellt revolutionäre Hypothese auf, daß Energieverteilung von atomaren Oszillatoren nicht kontinuierlich ist, sondern nur ein Vorfahrt eines bestimmten Quantums ist und daher auch nur in bestimmten Bündeln oder Quanten emittiert werden kann (bzw absorbiert).

$$\boxed{\Delta E = h\nu = hc/\lambda} \quad \text{mit Planck-Konstante } h$$

$$h = 6.55 \cdot 10^{-34} \text{ Js}$$

oder $hc = 1240 \text{ eV nm} \rightarrow$ nur diese Zahl nutzen!

Der Oszillator ist in einem Zustand mit Energie $E_n = nh\nu$ wobei n ganzzahlig positiv

z.B. in Zustand $E_2 = 2h\nu$

Kann entweder ① ein Photon der Energie $\Delta E = h\nu$ emittieren und damit seine Energie auf $E = (n-1)h\nu = E_{n-1}$ reduzieren oder ② ein Photon von Energie $\Delta E = h\nu$ absorbieren und dabei seine Energie auf $E = (n+1)h\nu = E_{n+1}$ erhöhen.

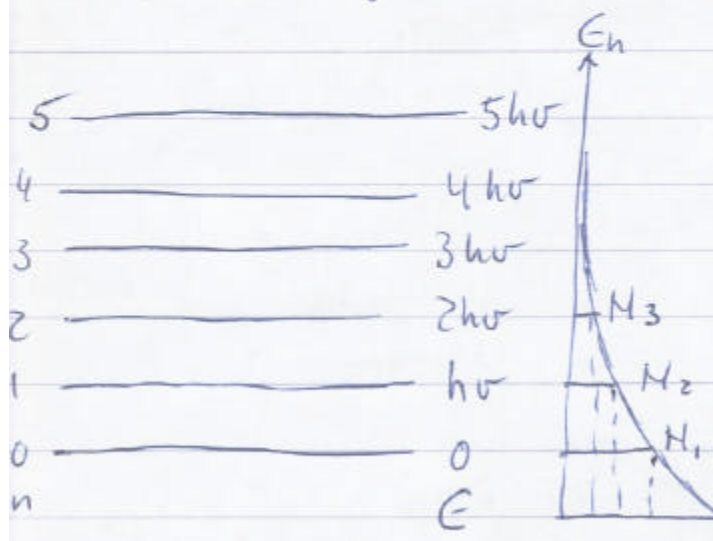
Energie der absorbierten oder emittierten Photonen ist gleich dem Abstand zwischen den Energieniveaus des Oszillators $h\nu$, d.h. ist (auch) gequantelt.

→ alle schwingenden Wellen im Hülbraum sind Photonen mit Energie $E = h\nu = hc/\lambda$ und relativistischen Impuls $p_c = \sqrt{E^2 - (mc^2)^2} = hc/\lambda$

○ für eine Welle oder Photon

Für jede Wellenlänge / Frequenz gibt es im schwingenden Stahl ein Oszillator der Frequenz v .

Was ist mittlere Energie des Oszillators bei Temperatur T ? Zu Gleich gewidet ist das auch die mittlere Energie in Form von Schwingung im Hülbraum



Besetzungs Wahrscheinlichkeit des Niveaus mit Energie E_n :

$$P(n) \propto \exp(-E_n/kT) = \exp\left(-\frac{n h\nu}{kT}\right)$$

wenn Grundzustand N_0

Teilchen hat \sim

$$P(n) N_1 = N_0 \exp\left(-\frac{h\nu}{kT}\right)$$

$$N_2 = N_0 \exp\left(-\frac{2h\nu}{kT}\right) \dots$$

$$\langle E \rangle = \frac{E_{\text{tot}}}{N_{\text{tot}}} = \frac{E_0 N_0 + E_1 N_1 + E_2 N_2 + \dots}{N_0 + N_1 + N_2 + \dots} = \frac{\sum_{n=0}^{\infty} n h v \exp(-\frac{n h v}{k T})}{\sum_{n=0}^{\infty} \exp(-\frac{n h v}{k T})}$$

substituiere $\exp(\frac{hv}{kT}) = x$

$$\begin{aligned} \langle E \rangle &= \frac{h v (0 + x + 2x^2 + 3x^3 + \dots)}{(1+x+x^2+\dots)} = h v x \frac{(1+2x+3x^2+\dots)}{(1+x+x^2+\dots)} \leftarrow (1-x)^{-1} \\ &= h v x \frac{1-x}{(1-x)^2} = h v \frac{1}{x-1} = h v \frac{1}{\exp(\frac{hv}{kT}) - 1} = \frac{hc}{\lambda} \frac{1}{\exp(\frac{hc}{\lambda kT}) - 1} \end{aligned}$$

\sim

$$R(\lambda, T) = \frac{c}{4} g(\lambda) \langle E(\lambda, T) \rangle = \frac{2\pi hc^2}{\lambda^5} \frac{1}{\exp(\frac{hc}{\lambda kT}) - 1}$$

Planck'sche Strahlungsgesetz Nobelpreis 1918

Expansion von $\exp(\dots)$ für kleine Argumente $\frac{hc}{\lambda kT}$
d.h. für große $\lambda \rightarrow$ Rayleigh-Jeans Formel

\Rightarrow Fig. 3-3

Forderung diskrete Oszillation ergiebend aus er-
gibt kontinuierliches Spektrum der Schwarzkörperstrahlung.
Als Planck hatte keine Begründung / Rechtferti-
gung für Quantisierung der Energie. \rightarrow 5 Jahre
später d. Einstein

Exkursion 1: Kosmische Mikrowellenstrahlung. 1964
entdeckt von Arno Penzias und Robert Wilson: ein Antennensystem
die in willkürliche Himmelsrichtung zeigt, fängt innen
Strahlung von ≈ 1 mm Wellenlänge auf. Vergleich
mit in flüssiges Helium gestochener Antenne \rightarrow
Strahlung kommt von einer Quelle mit etwa $3K$ -Temp
(exakte Messungen des Strahlungsspektrums \approx Schwarzkörperstrahlung entsprachend $T=2.74K$; Überrest der
Abkühlung nach dem Big Bang von ca. 15 Milliarden
Jahren (Nobelpreis Penzias/Wilson 1978))

NASA Satellitenmission COBE (Cosmic Background Explorer) 1989 gestartet zur Präzisionsmessung des gesamten Himmels bei wellenlängen $\sim T = 2.735 \text{ K}$

genüge Unterschiede auf Hintergrund $\Delta T/T = 10^{-4}$
durch Bewegung unseres Sonnensystems relativ
zum Universum (Dopplerverschiebung). Nach
Korrektur mit Daten von 1992 noch ge-
nug Fluktuationen auf $\Delta T/T = 10^{-5} \text{ Hintergrund}$

$\Rightarrow | \text{Fig. 3-4} |$

(Bild in galaktischen Koord: Ebene der
Bildshälfte \leftrightarrow Äquator, Punkt in der Bildshälfte
im Mittelpunkt)

jetzt noch viel genauere Daten WMAP 2005
Temp.-Flukt. auf kleiner Skala $\Rightarrow | \text{Fig. 3-5} |$

Ursprung: Dichtesubtanz im ganz jungen Univ. \rightarrow Schallwellen
Wo kommen Photonen her? Im frühen Universum
werden hierarchische Photonen ständig absorbiert
(Ionisation von Wasserstoff $\gamma + \text{H} \rightarrow p + e^-$).
Weil Universum soweit abgekühlt, dass dieser
Prozess nicht mehr möglich ist \sim neutrale Wasserstoff + Photonen, die austauschen
die Photonen, die wir heute sehen können von
Zielpunkt etwa 200 000 Jahre nach Urknall
als Universum auf etwa 3000 K abgekühlt
war $\rightarrow \lambda_p = 1 \mu\text{m}$ $E = \frac{hc}{\lambda} \approx 1.3 \text{ eV}$ ($\frac{1}{10}$ Ionisations-
energie Wasserstoff).

Hence ist Universum auf 2.74 K abgekühlt durch
Expansion $\leftrightarrow \lambda_p$ Größenänderung $1 \mu\text{m}$
strahlungsdominiertes Universum \rightarrow Matrioden-U.

Kosmische Hintergrundstrahlung füllt das ganze Universum mit Dichte von $n_g = 400/\text{cm}^3$
 \approx Energiedichte $E = 2.5 \cdot 10^5 \text{ eV}/\text{m}^3$ (plus every 10^9 Photonen $\approx 0.01\%$ der Energie dichte des Universums)

Exkursion 2: Treibhauseffekt \Leftrightarrow [Fig. 3-6]

Sonneinstrahlung $\lambda_p^S = 500 \mu\text{m}$

Erde " $\lambda_p^E = 10 \mu\text{m}$

Atmosphäre wird nach oben kalt. Warum?
 Rumpf Absorption von Licht / Photonen in Atmosphäre verschwinden.

- Sauerstoff und Ozon absorbieren alles Licht mit $\lambda < 300 \mu\text{m}$, also das meiste UV-Licht.
- Wasser absorbiert für $\lambda > 700 \mu\text{m}$

\rightarrow da Peaktintensität der Sonne dannischen (500nm), ist Atmosphäre transparent für größten Teil der Sonnenstrahlung "offenes Fenster für Sonnenlicht"

- Strahlung der Erde im mittleren und weiter IR wo Atmosphäre stark absorbiert. \approx Atmosphäre wird geheizt durch Absorption der IR Strahlung der Erde (also unten wärmer)

Konvektion verteilt thermische Energie über Atmosphäre

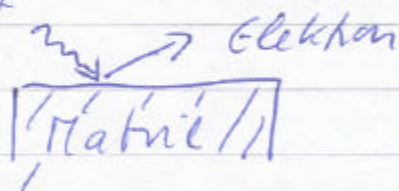
"Treibhaus effekt": Heizen der Atmosphäre der Erde durch Erdstrahlung. Idee hinter Hause: Treibhausfenster lassen Sonnenlicht ungehindert zur Abschattung von Pflanzen und Erde im IR wo Glas opak.

unser Temp durch delikates Gleichgewicht Ein- und Abschattung. CO₂ Problematik, 'global warming'

3.2. Photoelektrischer Effekt

Licht, das auf ein Material (z.B. Metall) fällt, kann Elektronen herausdrängen. Entdeckt von Heinrich Hertz 1887. Nachweis, daß es sich um Elektronen handelt: Thompson

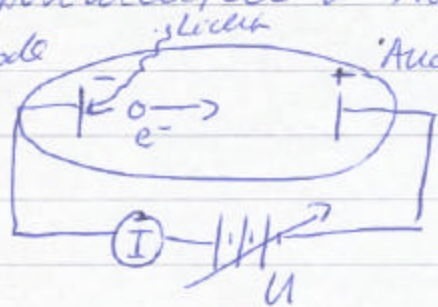
Licht



| Demonstration:

Kohlenstofflampe & Entladung
Elekrometer ~~weg. geladen~~

Experimenteller Aufbau, um Effekt zu studieren:
Kathode Anode

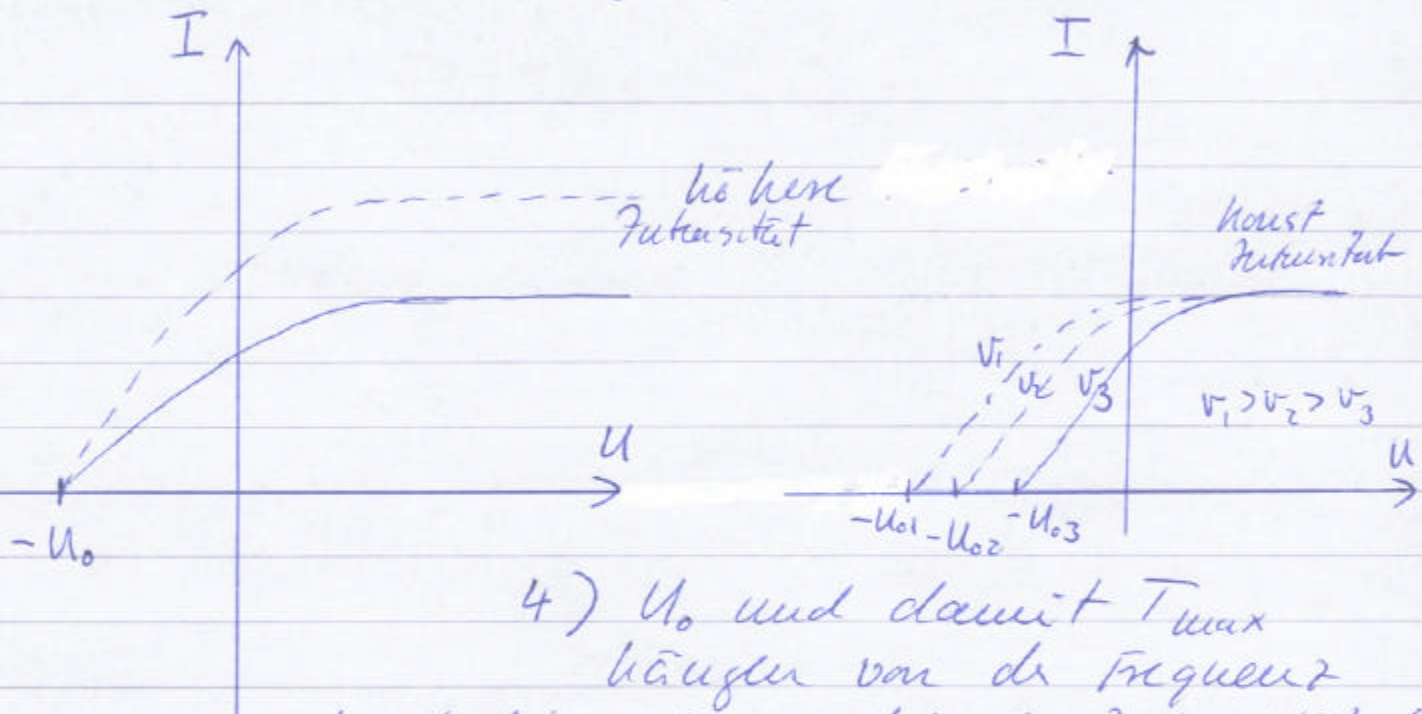


Philip Lenard 1902
(Nobelpreis 1905, kurz da-
nach in Heidelberg bis 1987)

⇒ Fig. 3-7

Messungen ergeben:

- 1) Strom $I \propto$ einfallende Photowellenintensität
- 2) mit wachsender Spannung U saturiert Strom (alle herausgeschlagenen Elektronen werden gesammelt)
- 3) Bestimmung der kinetischen Energie T der Elektronen durch Abzehrung des Potentials \rightarrow Abremssung ($-U$); nur Elektronen mit $T \geq eU$ tragen zum Strom bei. Strom fällt je negativer U wird und verschwindet bei Wert $-U_0$. \rightarrow es gibt eine maximale kinetische Energie der Elektronen, so daß $T_{\max} = eU_0$



4) U_0 und damit T_{\max} hängen von der Frequenz des Lichts ab nicht von Intensität ab höchst ungewöhnlich?!

bei klassischer Behandlung: höhere Intensität (Licht heller) größere Amplitude des E- und B-Felds der Welle \rightarrow mehr Energie wird pro Zeiteinheit übertragen, U_0 sollte wachsen.

5) Frequenzabhängigkeit: für jedes Material gibt es eine Schwellenfrequenz, unterhalb der kein Stark giebt. mit genug Intensität sollte klassisch immer Stark gieben

Weiterhin kurios: Zeit zwischen Ankunft von Licht und Emission von Elektronen beliebig kurz ($< 3\text{ns}$) Um Wellenfront verlorene Energie sollte zu laufen. Dann führen bis Elektron emittiert (sch. o. Länge)

Ghäsung durch A. Einstein (1905 vor spez. Rel. Theorie, Nobelpreis 1921): Planck's Theorie der Quantelung berichtet sich nicht nur auf Oszillatoren, sondern ist

generelle Eigenschaft elektromagnetischer Wellen.
 Eine em. Welle der Frequenz ν und Wellenlänge λ hat Energie $E = h\nu = hc/\lambda$. Da em. Welle keine Ruhemasse hat, gilt auch $p_c \cdot E$. Welle verzehrt sich wie ein Teilchen mit Ruhemasse 0 "Photon".

Photon trifft Atom; wenn seine Energie $E = h\nu$ größer als Ionisationspotential, dann gibt Photon alle Energie an das Atom ab, das dann ionisiert wird. $T_{\max} = h\nu - W$; W ist minimale Energie, um ein Elektron aus dem Atom zu entfernen (T_{\max} , da es fest gebundene Elektronen gibt mit $BE > W$).

W ist Materialeigenschaft, z.B. $W_{\text{Na}} = 2.3 \text{ eV}$, $W_{\text{Cs}} = 1.8 \text{ eV}$, $W_{\text{Pt}} = 6.4 \text{ eV}$

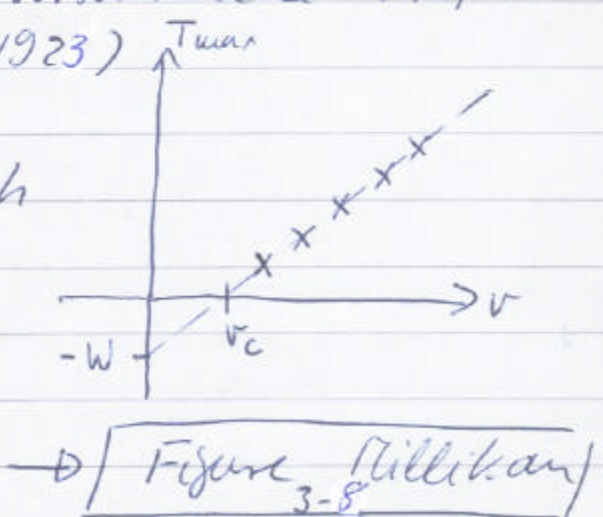
Genaue Messung von T_{\max} für verschiedene Frequenzen (Millikan, 1916, Nobelpreis 1923)

Steigung ist Planck-Konstante h
 Abszissenabschnitt $-W$.

kritische Frequenz ν_c :

$$h\nu_c = W \approx T_{\max} = 0; \text{ für } \nu < \nu_c$$

kein Photoeffekt möglich



→ Figure 3-8 (Millikan)

Beispiel: Licht mit Wellenlänge $\lambda = 400 \text{ nm}$ trifft "Photokathode". Photoschau verschwindet bei Frequenz

$$\text{Spannung } U_0 = 2.5 \text{ V} \approx T_{\max} = 2.5 \text{ eV}$$

Photon-Energie $E = h\nu = hc/\lambda$

$$= \frac{1240 \text{ eV nm}}{400 \text{ nm}} = 3.1 \text{ eV}$$

$$\text{Aushilfsarbeit } W = h\nu - T_{\max} = (3.1 - 2.5) \text{ eV} = 0.6 \text{ eV}$$

Kritische Frequenz, bei der Photoeffekt verschwindet
 $h\nu_c = 0.6 \text{ eV}$ bzw $\nu_c = \frac{0.6 \text{ eV}}{4.1 \cdot 10^{-15} \text{ eVs}} = 1.5 \cdot 10^{14} \text{ Hz}$

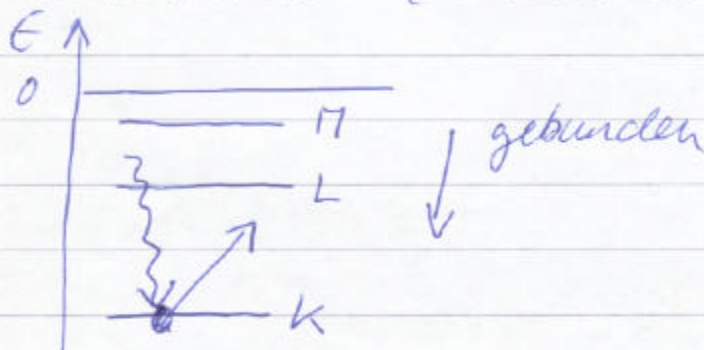
Anwendung Photoeffekt : Photomultiplier
Prinzip \Rightarrow [Fig 3-9]

Hinter Glas oder Quarzfenster Kathode aus Material mit möglichst genügend Aushilfsarbeit (z.B. Bialkali-Kathode). Mit gewisser Wahrscheinlichkeit wird Photon ein Elektron herausstoßen ("Quanteneffizienz", typ. 20-30 %). Elektron wird auf weite Gleichkathode (positives Potential) beschleunigt, die sogenannte 'Dyode' aus der er durch seine kinetische Energie 1-2,3,... weitere Elektronen herausstoßt, 8-12 solcher Dyoden hintereinander: aus einem einzelnen Photoelektron werden z.B. $3^{12} = 5 \cdot 10^5$ Elektronen \rightarrow kurzer Strompuls, über Widerstand Spannungssignal (typ im mV-Bereich)

Ähnlich: in Halbleitern wird Photoeffekt genutzt in Solarzelle, Photodiode, CCD-Kamera

Photoeffekt: Betrachtung auf atomare Ebene
Photon wird vom Atom absorbiert, in dem es seine ganze Energie auf ein gebundenes

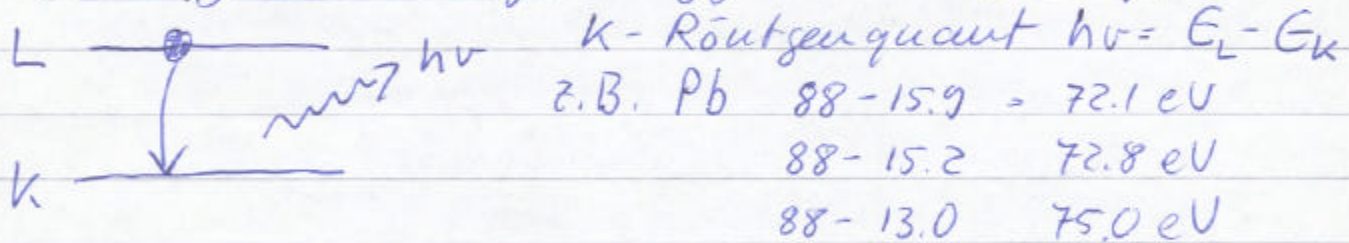
Elektronen abhängt (falls seine Energie die Bindungsenergie des Elektrons übersteigt)
es gibt verschiedene Elektronenbindungsstufen
im Atom ("Schalen") z.B.



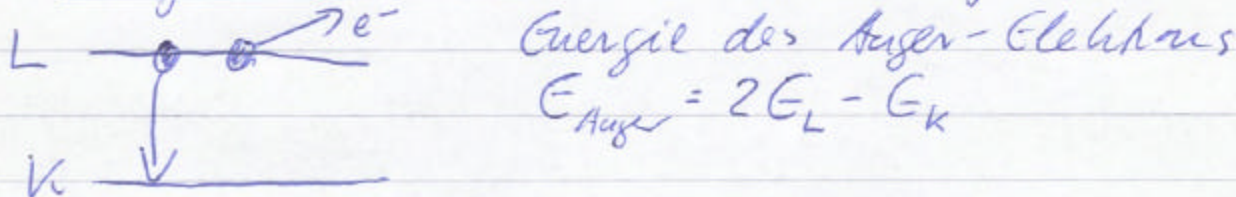
^{208}Pb	^{40}Ar
82	18
E_K	-88 keV
E_L	$-15.9, -15.2, -13 \text{ keV} = (-0.3 \text{ keV})$
E_M	$\approx (-3.9 \text{ eV})$
	$\approx (-0.02 \text{ keV})$
	5 Werte

Folge des Photoeffekts: Loch in einer inneren Schale wird aufgefüllt; 2 Fälle

- 1) Elektron aus höheren (weniger gebundenen) Schale fällt herunter. Überschussenergie wird in Form charakteristischer Strahlung (Röntgenstrahlung) abgegeben "X-ray"

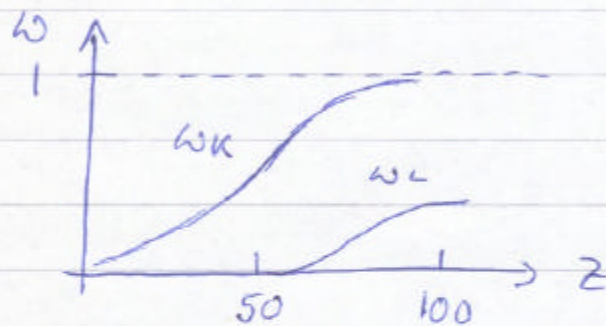


- 2) Überschussenergie wird auf ein weiteres Elektron übertragen, das damit emittiert wird
"Auger-Elektron" also strahlungsfrei



Konkurrenz zwischen 1) und 2) Fluoreszenz -

ausbeute $\omega = \frac{N_x}{N_x + N_{\text{Auger}}}$



außer bei K-Schale u. in schweren Atomen dominiert Augerel. Emission

3.3. Comptonstreuung - Comptoneffekt

Neben Prozess, in dem Photon absorbiert wird gibt es Scattered Prozesse, in denen Photon mit Elektron oder ganzen Atom wechselt, seine Richtung ändert, aber seine Energie behält oder nur teilweise verliert. Werden nach unten und wichtig aus besonders wenn $E=h\nu \gg W$

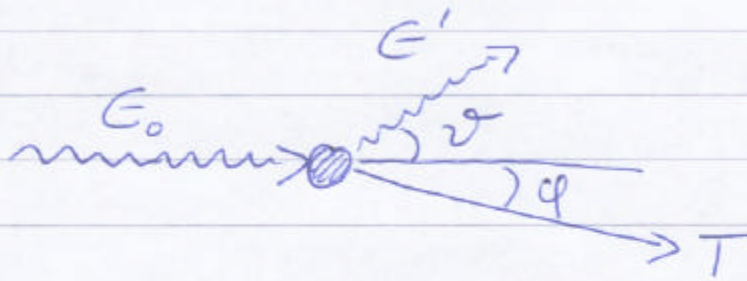
in diesem Fall Streuung des Photons an quasi-freien Elektronen. Analog elastischer Streuung von 2 Billiardkugeln

Erste Messung: Arthur Compton 1922



berachtete Streuung im laborsystem unter Annahme, daß Elektron aufsprang in Ruhe

(MB: falls man ^{kin.} Energie des aufänglichen Elektrons nicht vernachlässigen will, gilt die Betrachtung im Ruhesystem des Elektrons und alle Größen können ins laborsystem transformiert werden, siehe Kap. 2)



einfallendes
Photon:

$$E_0 = h\nu_0 = \frac{hc}{\lambda_0} = p_0 c$$

gestrahltes Photon $E' = h\nu' = \frac{hc}{\lambda'} = p'c$

Elektron aufgang: $T_i = 0$ $p_{i\perp} = 0$ $E_i = m_0 c^2$

Elektron nach Streuung: T , p_{\perp} , $E = T + m_0 c^2$

1) Energieerhaltung $E_0 = E' + T$

$$T = E_0 - E' \quad \textcircled{1}$$

Zur Pulss des gestrahlten Elektrons p_c :

$$(T + m_0 c^2)^2 = (p_c)^2 + (m_0 c^2)^2$$

$$T^2 + 2T m_0 c^2 = (p_c)^2 \quad | \text{ siehe } \quad \textcircled{1} \text{ eii}$$

und beachte $E = hc/\lambda$

$$\left(\frac{hc}{\lambda_0}\right)^2 - \frac{2(hc)^2}{\lambda_0 \lambda'} + \left(\frac{hc}{\lambda'}\right)^2 + 2m_0 c^2 \left(\frac{hc}{\lambda_0} - \frac{hc}{\lambda'}\right) = (p_c)^2 \quad \textcircled{2}$$

2) Zerpulsverhalten

a) in Richtung des einfallenden Photons

$$p_{0\perp} = p'c \cos \vartheta + p_c \cos \varphi$$

$$p_c \cos \varphi = \frac{hc}{\lambda_0} - \frac{hc}{\lambda'} \cos \vartheta \quad \textcircled{3}$$

b) senkrecht zur Einfallrichtung des Photons

$$p'c \sin \vartheta = p_c \sin \varphi$$

$$\frac{hc}{\lambda'} \sin \vartheta = p_c \sin \varphi \quad \textcircled{4}$$

Quadrieren $\textcircled{3}$ und $\textcircled{4}$ und addieren mit Beachtung von $\sin^2 \vartheta + \cos^2 \vartheta = 1$

$$(pc)^2 = \left(\frac{hc}{\lambda_0}\right)^2 - \frac{2(hc)^2}{\lambda_0 \lambda'} \cos \vartheta + \left(\frac{hc}{\lambda'}\right)^2 \quad (5)$$

um β gleich (2) sein \sim

$$m_0 c^2 \left(\frac{hc}{\lambda_0} - \frac{hc}{\lambda'} \right) = \frac{(hc)^2}{\lambda_0 \lambda'} (1 - \cos \vartheta) / \cdot \frac{\lambda_0 \lambda'}{(hc)^2}$$

$$\frac{m_0 c^2}{hc} (\lambda' - \lambda_0) = 1 - \cos \vartheta \quad \text{och}$$

$$\boxed{\lambda' - \lambda_0 = \frac{hc}{m_0 c^2} (1 - \cos \vartheta)}$$

Comptonstauformel; verbindet λ_0, λ' und ϑ
die Größe $hc/m_0 c^2 = \frac{1240 \text{ eV nm}}{5 \cdot 1 \cdot 10^5 \text{ eV}} = 2.4 \text{ pm}$
nennt man die

"Comptonwellenlänge" des Elektrons
sieht Skala bei welchen Lichtwellenlängen
man Comptoneffekt beobachten kann:
 $\Delta \lambda / \lambda$ ist von Größenordnung der Compton-
wellenlänge / λ und darf nicht ver-
schwindend klein sein. Für Röntgenstrahlen
 $\lambda = 0.1 - 0.01 \text{ nm} \sim \Delta \lambda / \lambda$ Größenordnung % \rightarrow
gut messbar

\Rightarrow [Figs 3-10, 11]

$$\vartheta = 0^\circ \quad \lambda' - \lambda_0 = 0 \quad \text{heile Streuung}$$

$$\vartheta = 90^\circ \quad \lambda' - \lambda_0 = 2.4 \text{ pm}$$

$$\vartheta = 180^\circ \quad \lambda' - \lambda_0 = 4.8 \text{ pm} \quad \text{max. Verschiebung}$$

max. Energieverlust Photon

Comptonstauformel durch Energie des Photons,

ausgedrückt

$$\boxed{\frac{1}{E_0} - \frac{1}{E'} = \frac{1}{m_0 c^2} (1 - \cos \vartheta)}$$

oder

$$\epsilon' = \frac{E_0 m_0 c^2}{E_0 (1 - \cos\vartheta) + m_0 c^2}$$

für rückgestrahltes Photon ($\vartheta = 180^\circ$)

$$\epsilon' = \frac{E_0}{\frac{E_0}{m_0 c^2} + 1} \quad \text{und für } E_0 \gg \frac{m_0 c^2}{2} \approx$$

$$\epsilon' = \frac{m_0 c^2}{2} \quad \text{"Compton-Kante"} \\ \text{ui gemess. Spaltmen.}$$

Beispiel: Photon mit Energie $E_0 = 4 m_0 c^2 \approx 2 \text{ keV}$ staut an Elektronen ui Ruhe. Photon verliert $\frac{1}{3}$ seiner Energie ui der Streuung. $\vartheta? T? \varphi?$

$$E_0 = 4 m_0 c^2 \quad \epsilon' = 1.33 m_0 c^2$$

$$\cos\vartheta = 1 - m_0 c^2 \left(\frac{1}{\epsilon'} - \frac{1}{E_0} \right) = 1 - \left(\frac{1}{1.33} - \frac{1}{4} \right) = 0.50$$

$$\vartheta = 60^\circ$$

$$T = (4 - 1.33) m_0 c^2 = 1.36 \text{ keV} \leftarrow \text{unendigt relativist.}$$

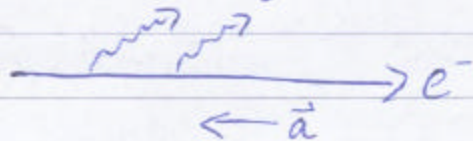
$$E = (4 - 1.33 + 1.0) m_0 c^2 = 1.87 \text{ keV}$$

$$p_c = \sqrt{\epsilon'^2 - (m_0 c^2)^2} = m_0 c^2 \sqrt{(4 - 1.33 + 1.0)^2 - 1.0^2} \\ = 1.80 \text{ keV}$$

$$p' \sin\vartheta = p \sin\varphi \approx \sin\varphi = \frac{p'}{p} \sin\vartheta = \frac{0.68}{1.80} \sin 60^\circ = 0.33 \\ \varphi = 19.1^\circ$$

3.4. Bremsstrahlung und Paarbildung

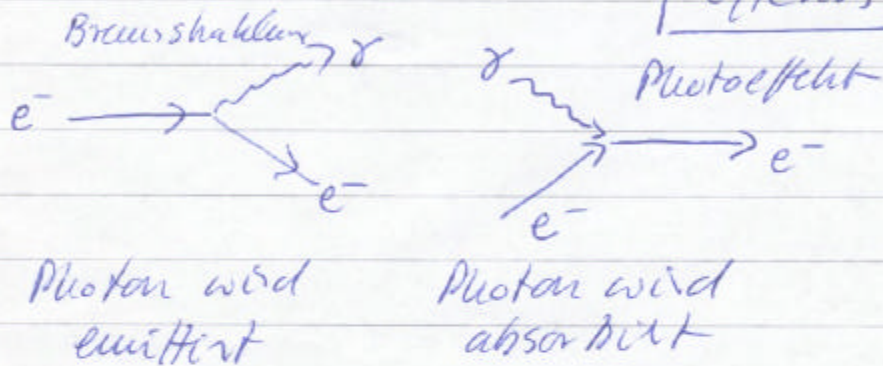
Bei beschleunigtes oder abbremsendes (negativ beschleunigtes) geladenes Teilchen emittiert es Strahlung (Photonen)



Energieverteilung der Strahlung ist kontinuierlich, maximal wird die gesamte kin. Energie des geladenen Teilchens (Elektrons) als ein einziges Photon abgespalten mit unendlicher Wellenlänge

$$T_e = \frac{hc}{\lambda_{\min}} = h\nu_{\max}$$

Kontinuierlicher Photoelektrik-Effekt

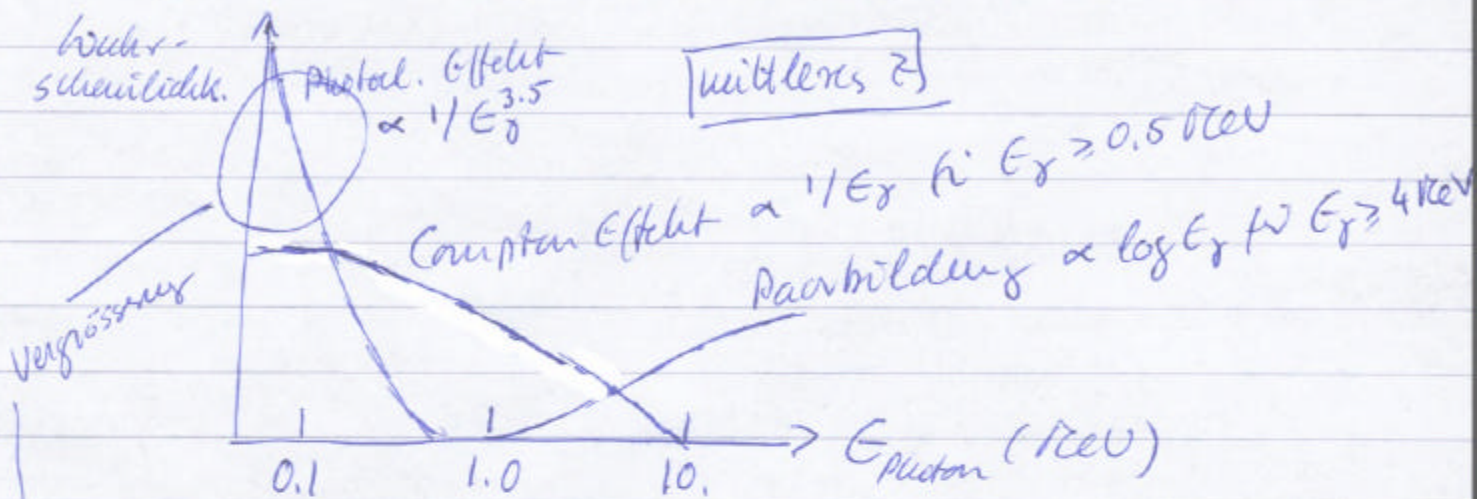


beide können nicht mit 'freien' Elektronen stattfinden, benötigt drittes Teilchen, um gleichmäßige Energie und Impuls zu erhalten.
Also keine Bremsstrahlung im Vakuum.

Wenn Photonenenergie $E \geq 2m_0c^2 = 1.02 \text{ PeV}$, kann Photon in ein Paar von Elektron und Positron annihilieren ($\gamma \rightarrow e^+e^-$) welche Energie und Impuls nur erhalten, wenn Partner (z.B. Atomkern) einen Impuls aufweist. \rightarrow Keine Paarbildung im Vakuum

Universer Prozess: $e^+ + e^- \rightarrow 2\gamma$ von je 0.51 PeV
"Elektron-Positron Annihilation"

Energieabhängigkeit der Wechselwirkung von Photonen mit Materie



quantifiziert durch Photoabsorptionskoeffizient μ

$$I = I_0 \exp(-\mu x) \quad \mu = \mu_E + \mu_C + \mu_P \quad (\text{'/Länge})$$
